

**$\text{CaCl}_2 + \text{H}_2\text{O}$ QARIŞIĞININ MÜXTƏLİF MOLYAR
KONSENTRASIYALARDÀ SIXLİGININ TƏZYİQDƏN ASILILIGI**

SƏFƏROV C. T.^{1,2}, NƏCƏFOV Q.N.¹, ŞAHVERDİYEV A. N.¹

¹ *Azərbaycan Texniki Universiteti*
² *Rostok Universiteti, Rostok, Almaniya*

Təqdim olun məgalədə $\text{CaCl}_2 + \text{H}_2\text{O}$ qarışığının müxtəlif molyar konsentrasiyalarda sixığının təzyigdən asılılığı analiz edilmişdir. Alınmış təcrübi nəticələr hal tənliyinin köməyi ilə yazılmış və ədəbiyyat giymətləri ilə mügayisə edilmişdir.

Elektrolitlərin sulu məhlulları kimya sənayesinin müxtəlif sahələrində, absorbsion soyuducu qurğularда işçi agentlər kimi istifadə olunur. Eyni zamanda ion-ion, ion-həllədici, həllədici-həllədici təsirinin analizi üçün bu garişqların termodinamik xassələrinin oyrənilməsi həmişə diqqət mərkəzində olmuşdur. $\text{CaCl}_2 + \text{H}_2\text{O}$ qarışığı həm də geotermal duz garişqlarının əsas komponentlərindən biridir.

Bu qarışığın termodinamik xassələrinin analizinə nəzər yetirsək (cədvəl 1) görərik ki, bu sahədə çoxlu ədəbiyyatlar mövcuddur. Amma əksər araşdırımlar kiçik hal parametrləri intervalında aparılmışdır. Xüsusilə da yüksək təzyiglərdə təcrubi giymətlər azdır.

Təqdim olunan məgalədə $\text{CaCl}_2 + \text{H}_2\text{O}$ qarışığının $T=298.15 \div 398.15$ K temperatur, $p=0.1 \div 60$ MPa təzyig və $m=0.18388 \div 6.00687$ molyar konsentrasiya intervalında (p , ρ , T) xassələri tədqiq olunmuşdur. Təcrübələr sabit həcmli pyezometr qurğusunun köməyi ilə yerinə yetirilmişdir. Təcrübə qurğusunun quruluşu və iş prinsipi [1]-də verilmişdir. Təcrübə qurğusunun əsas elementi daxili diametri 0.06 m və divarının qalınlığı 0.03 m olan, sferik formalı pyezometrdir. $T=293.15$ K və $p=0.1$ MPa hal parametrlərində pyezometrin həcmi $350.13 \cdot 10^{-6}$ m³-dir. Qurğunun dəqiqliyi suyun sixığının təcrübi olaraq tədqiq edilməsi ilə yoxlanılmışdır. Alınmış nəticələr ədəbiyyat giymətləri ilə [2] müqayisə edilmiş və 0.03 %-ə qədər xəta vermişdir. Bu da qurğunun yüksək dəqiqliyini bir daha təsdiq etmişdir. Qurğunun hal parametrlərini ölçmə xətaları: $\Delta T=\pm 3$ mK temperatur üçün, $\Delta p=\pm 5 \cdot 10^{-2}$ MPa yüksək təzyiqlər üçün, $\Delta \rho=\pm 5 \cdot 10^{-4}$ MPa atmosfer təzyiqi üçün və $\Delta \rho=\pm 3 \cdot 10^{-2}$ kg·m⁻³ sixlig üçün.

Qarışqların hazırlanması zamanı Almanianın „Merk“ firmasının istehsalı olan CaCl_2 istifadə edilmişdir. CaCl_2 -un texniki xarakteristikaları:

- tərkibi $x_{\text{CaCl}_2} > 98\%$,
- 24 saat ərzində su yiğması 20%,
- sərbəst maddələr $\text{Ca}(\text{OH})_2 < 0.2 \%$,
- istehsal nömrəsi 102378.

Qarışığı hazırlamadan əvvəl CaCl_2 vakuum nasos və qızdırıcı vasitəsi ilə 418.15 K temperatura qədər 1 gün ərzində qızdırılaraq qurudulmuşdur. Daha sonra xüsusi deqazasiya olunmuş və iki dəfə distillə edilmiş sudan istifadə edərək VLA-200 tərəzisinin köməyi ilə qarışq hazırlanmışdır.

Alınmış təcrübi (p , ρ , T) qiymətləri cədvəl 2-də verilmişdir.

Alınmış təcrübələr əvvəlki məqalələrdə başqa məhlullar üçün tətbiq olunmuş hal tənliyi vasitəsilə [3] yazılmışdır:

$$p = A\rho^2 + B\rho^8 + C\rho^{12}. \quad (1)$$

Cədvəl 1

CaCl₂ + H₂O qarışığının termodinamik xassələrinə həsr olunmuş təcrübi araşdırırmalar

1-ci müəllif	Ədəbiyyat	İl	Metod	Xassə	Xəta	Temperatur, T (K)	Təzyiq, p (MPa)	Konsentrasiya, m (mol·kq ⁻¹)
BKC ^a	[4]	1928		ρ		268.15 ÷ 413.15	0.1	2 ÷ 40 %
Pesce	[5]	1932	PM	ρ, n_D^{25}		298.15	0.1	$C_g=0 \div 13.44$
Lyons	[6]	1954	P	ρ, η		298.15	0.1	$c = 0.03 \div 6$
Polyakov	[7]	1965	IP	ρ	0.08 %	293.15 ÷ 573.15	100 ÷ 1500 at.	10 %
Dunn	[8]	1966	MD	ρ, V_ϕ	$1 \cdot 10^{-5} \text{ g} \cdot \text{ml}^{-1}$	298.15	0.1	0.001 ÷ 1
Ellis	[9]	1967		ρ, V_ϕ		323.15 ÷ 473.15	20 atm.	0.05 ÷ 1
Millero	[10]	1971	Xülasə	ρ, V_ϕ				
Perron	[11]	1974	AD	V_ϕ, ρ, c_p	$\pm 3 \cdot 10^{-6} \text{ q} \cdot \text{sm}^{-3}$	298.15	0.1	0.01256 ÷ 0.328
Spitzer	[12]	1978	AD	V_ϕ, c_p		298.15	0.1	0.0203 ÷ 0.406
Alexin	[13]	1980	PM	p, ρ, T	0.008 %	298.15	0.101 ÷ 103.097	0.1044 ÷ 4.3872
Emara	[14]	1981	P	V_ϕ, ρ, k, u		298.15	0.1	$c=0.02 \div 0.5$
Perron	[15]	1981	AK	ρ, c_p	0.05 %	298.15	0.1	0.05001 ÷ 6.4644
Tashima	[16]	1981	P	ρ	$\pm 0.0004 \text{ q} \cdot \text{sm}^{-3}$	293.15 ÷ 343.15	0.1	0 ÷ 5.988
Kumar	[17]	1982	VBD	ρ, u, k	$\pm 3 \text{ ppm}$	298.15	0.1	0.0334 ÷ 7.4
Kumar	[18]	1983	VBD	V_ϕ, ρ, k, α	$\pm 3 \text{ ppm}$	278.15 ÷ 318.15	0.1	0.3334 ÷ 7.4488
Romankiw	[19]	1983	RBD	ρ	$2.796 \cdot 10^{-4} \text{ q} \cdot \text{cm}^{-3}$	298.15 ÷ 318.15	1 atm.	0 ÷ 5.05
Isono	[20]	1984	VD	ρ	$0.01 \text{ kg} \cdot \text{m}^{-3}$	288.15 ÷ 428.15	0.1	0.05 ÷ 6
Gates	[21]	1985	VBD	ρ	$50 \cdot 10^{-6} \text{ q} \cdot \text{cm}^{-3}$	298.15	0.1013 ÷ 40.71	0.0505 ÷ 4.98
Kumar	[22]	1986	VBD	ρ, V_ϕ	$0.21 \text{ cm}^3 \cdot \text{mol}^{-1}$	323.15 ÷ 473.15	20.27 bar	0 ÷ 6.4389
Kumar	[23]	1986	VBD	ρ, V_ϕ	$\pm 3 \text{ ppm}$	298.15	0.1	0.5 ÷ 4.5
Pepinov	[24]	1988	HÇM	ρ	0.02 %	298.15 ÷ 623.15	0.1 ÷ 35	1 ÷ 20 %
Gates	[25]	1989	VBD	ρ, V_ϕ	0.02 %	323 ÷ 600	0.101 ÷ 40.71	0.0497 ÷ 6.4244
Oakes	[26]	1995	VBD	ρ, V_ϕ		298.15 ÷ 523.15	70 və 400 bar ətrafında	0.242 ÷ 6.15

^a BKC – beynəlxalq kritik cədvəllər, PM – pyezometr metodu, P – piknometer, IP – impuls pyezometri, MD – magnit dilatometri, AD – axin desimetri, AK – axın kalorimetri, VBD – vibrasiyalı borulu densimetr, RBD – rəgsedən borulu densimetr, VD – Veld densimetri, HÇM – hidrostatik çəkmə metodu, ρ – sıxlıq, η – özlülük, V_ϕ – xəyali molyar həcm, c_p – izobarik istilik tutumu, k – izotermik sıxılma, u – səs sürəti, α - həcmi genişlənmə.

Cədvəl 2

$\text{CaCl}_2 + \text{H}_2\text{O}$ qarışığının müxtəlif molyar konsentrasiyada və yuvarlaq təzyiqlərdə
(p , ρ , T) qiymətləri

T/K	p/MPa							
	0.1	5	10	20	30	40	50	60
$\rho/(\text{kg}\cdot\text{m}^{-3})$								
$m=0.18388$								
298.15	1013.7	1015.8	1017.9	1022.1	1026.3	1030.5	1034.7	1038.8
323.15	1004.4	1006.4	1008.5	1012.5	1016.5	1020.6	1024.6	1028.6
348.15	991.2	993.2	995.3	999.3	1003.4	1007.5	1011.6	1015.7
373.15	975.0	977.1	979.2	983.5	987.7	992.0	996.3	1000.5
398.15	956.4*	958.5	960.8	965.3	969.9	974.4	979.0	983.5
$m=0.47423$								
298.15	1038.8	1040.9	1042.9	1047.1	1051.2	1055.3	1059.5	1063.6
323.15	1029.1	1031.1	1033.1	1037.1	1041.1	1045.0	1049.0	1053.0
348.15	1015.9	1017.9	1020.0	1024.0	1028.1	1032.2	1036.3	1040.3
373.15	1000.0	1002.1	1004.2	1008.5	1012.7	1016.9	1021.1	1025.4
398.15	981.6*	983.7	986.0	991.0	995.1	999.7	1004.3	1008.8
$m=1.59005$								
298.15	1127.6	1129.5	1131.4	1135.3	1139.1	1142.9	1146.8	1150.6
323.15	1116.6	1118.4	1120.2	1123.7	1127.3	1130.8	1134.4	1137.9
348.15	1103.5	1105.3	1107.1	1110.8	1114.4	1118.0	1121.7	1125.3
373.15	1088.4	1090.3	1092.2	1095.9	1099.7	1103.4	1107.2	1110.9
398.15	1071.9*	1073.8	1075.8	1079.8	1083.6	1087.3	1091.3	1095.2
$m=3.00344$								
298.15	1226.6	1228.2	1229.9	1233.2	1236.5	1239.7	1243.0	1246.3
323.15	1213.3	1214.8	1216.5	1219.8	1223.2	1226.5	1229.9	1233.2
348.15	1199.8	1201.4	1203.1	1206.4	1209.6	1212.9	1216.2	1220.0
373.15	1184.9	1186.7	1188.5	1192.0	1195.6	1199.1	1202.7	1206.3
398.15	1168.8	1170.7	1172.5	1176.3	1180.0	1183.7	1187.5	1191.2
$m=4.85170$								
298.15	1334.0	1335.6	1337.1	1340.2	1343.3	1346.4	1349.5	1352.6
323.15	1319.6	1321.1	1322.6	1325.7	1328.7	1331.7	1334.8	1337.8
348.15	1305.2	1306.7	1308.3	1311.4	1314.4	1317.5	1320.6	1323.6
373.15	1289.4	1291.1	1292.7	1296.1	1299.4	1302.7	1306.1	1309.4
398.15	1272.1	1274.1	1276.0	1280.2	1283.9	1287.8	1291.8	1295.7
$m=6.00687$								
298.15	1392.7	1394.0	1395.3	1397.8	1400.4	1402.9	1405.5	1408.0
323.15	1377.0	1378.4	1379.9	1382.7	1385.6	1388.4	1391.3	1394.1
348.15	1361.2	1362.7	1364.2	1367.1	1370.1	1373.1	1376.1	1379.0
373.15	1345.1	1346.7	1348.3	1351.5	1354.6	1357.8	1361.0	1364.2
398.15	1328.0	1329.9	1331.7	1335.4	1339.1	1342.8	1346.5	1350.2

* gaynama təzyiqində

Burada A , B və C hal tənliyinin əmcalları olub, temperatur və molyar konsentrasiyadan aşağıdakı kimi asılıdır:

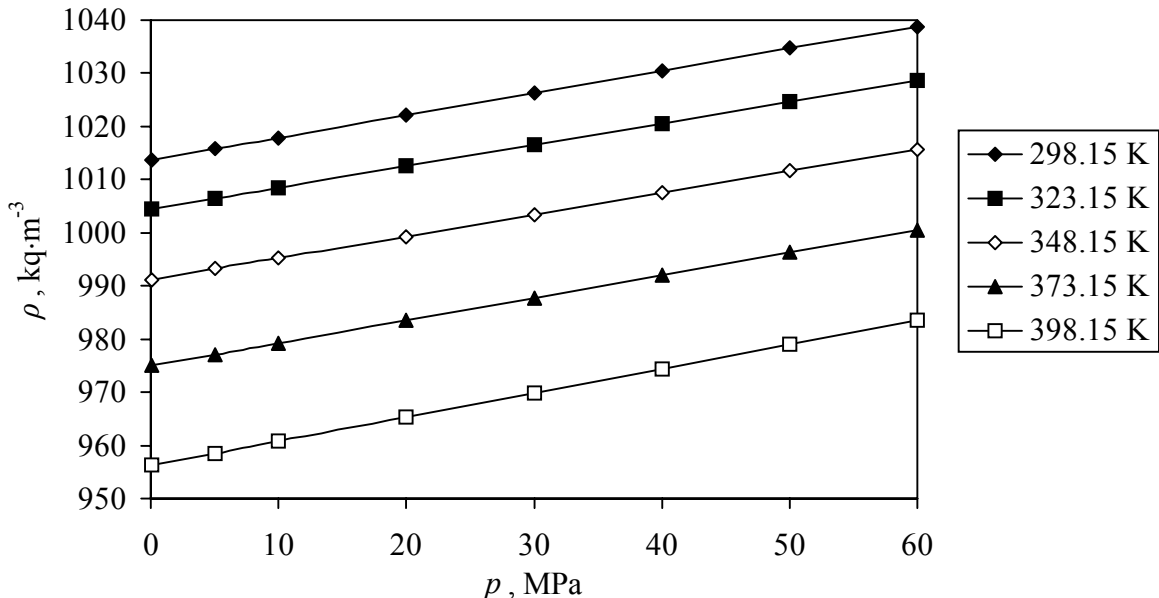
$$A = \sum_{i=1}^2 T^i \sum_{j=0}^5 a_{ij} m^j; B = \sum_{i=0}^1 T^i \sum_{j=0}^5 b_{ij} m^j; C = \sum_{i=0}^1 T^i \sum_{j=0}^5 c_{ij} m^j. \quad (2)$$

a_{ij} , b_{ij} və c_{ij} polinomun əmsallarıdır və cədvəl 3-də verilmişdir. (1) tənliyi (2)-ni nəzərə almagla təcrübə nticələri 0.035 % maksimum xəta ilə yazmağa imkan verir.

Cədvəl 3
(2) tənliyindəki a_{ij} , b_{ij} və c_{ij} əmsallarının qiymətləri

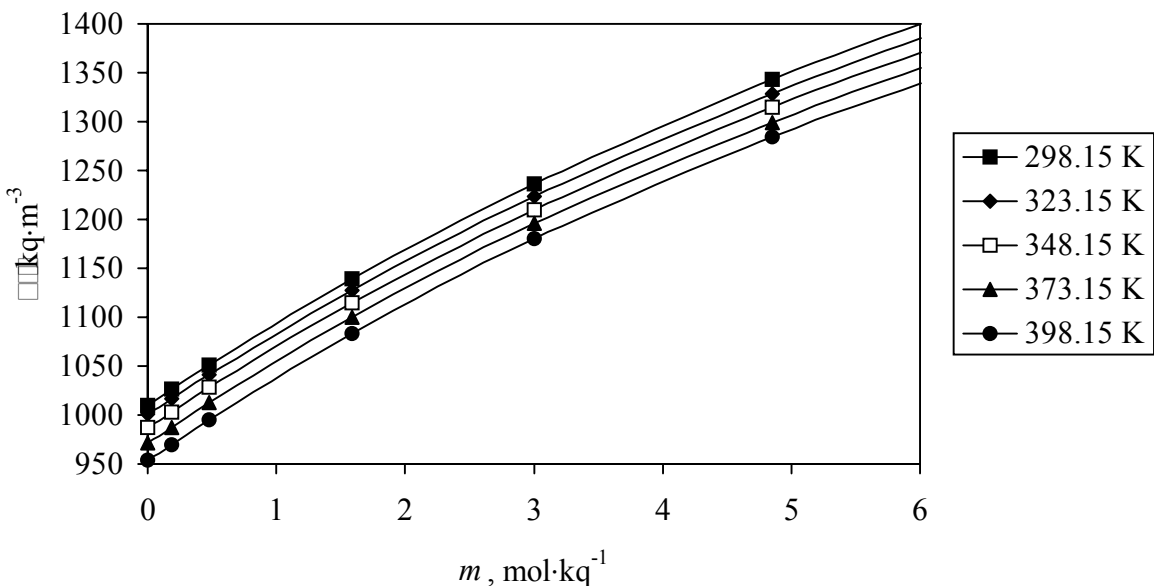
a_{ij}	b_{ij}	c_{ij}
$a_{10}=-3.960277082914196$	$b_{00}=465.2368895738778$	$c_{00}=-95.7543326012424$
$a_{11}=2.364985439927896$	$b_{01}=-735.7659115078492$	$c_{01}=219.3912124011633$
$a_{12}=-2.297192677926931$	$b_{02}=804.9474471229078$	$c_{02}=-316.3342590148772$
$a_{13}=1.084236677965811$	$b_{03}=-385.1567226335254$	$c_{03}=161.5325338313048$
$a_{14}=-0.2082838032538078$	$b_{04}=76.83567325060636$	$c_{04}=-32.58974065536027$
$a_{15}=0.01384668960276268$	$b_{05}=-5.344471051003636$	$c_{05}=2.255489178160482$
$a_{20}=0.006718274915042545$	$b_{10}=1.363639420626777$	$c_{10}=-0.6326628596841564$
$a_{21}=-0.004189310065700228$	$b_{11}=-1.045141211927259$	$c_{11}=1.003477929300484$
$a_{22}=0.004217855150521485$	$b_{12}=-0.1235977208379671$	$c_{12}=-0.3280357707923063$
$a_{23}=-0.002098175015168549$	$b_{13}=0.2949787661294862$	$c_{13}=-0.01114564935627558$
$a_{24}=0.4320396064279943 \cdot 10^{-3}$	$b_{14}=-0.08356911375713991$	$c_{14}=0.01780576527138107$
$a_{25}=-0.3085736200827762 \cdot 10^{-4}$	$b_{15}=0.006983695423140266$	$c_{15}=-0.001837093997577756$

Şəkil 1-də $m=0.18388$ molyar konsentrasiyada $\text{CaCl}_2 + \text{H}_2\text{O}$ qarışığının sıxlığının təzyiqdən asılılığı verilmişdir.



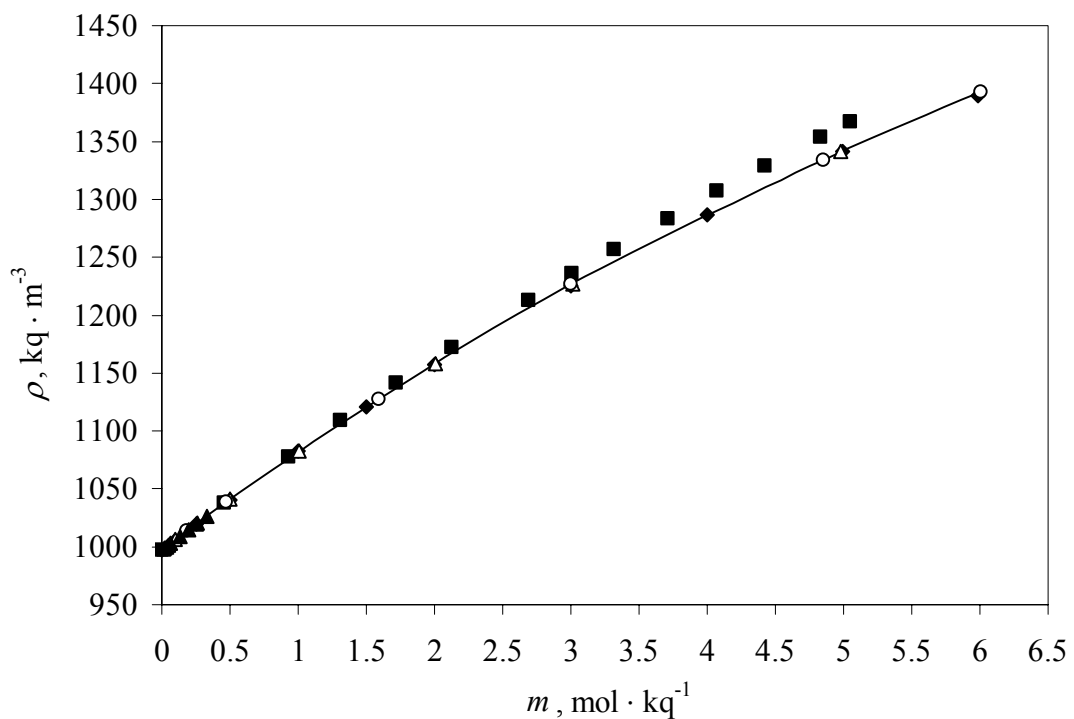
Şəkil 1. $m=0.18388$ molyar konsentrasiyada $\text{CaCl}_2 + \text{H}_2\text{O}$ qarışığının sıxlığının təzyiqdən asılılığı.

Şəkil 2-də $\text{CaCl}_2 + \text{H}_2\text{O}$ qarışığının sıxlığının 30 MPa təzyiqdə molyar konsentrasiyadan asılılığı verilmişdir.



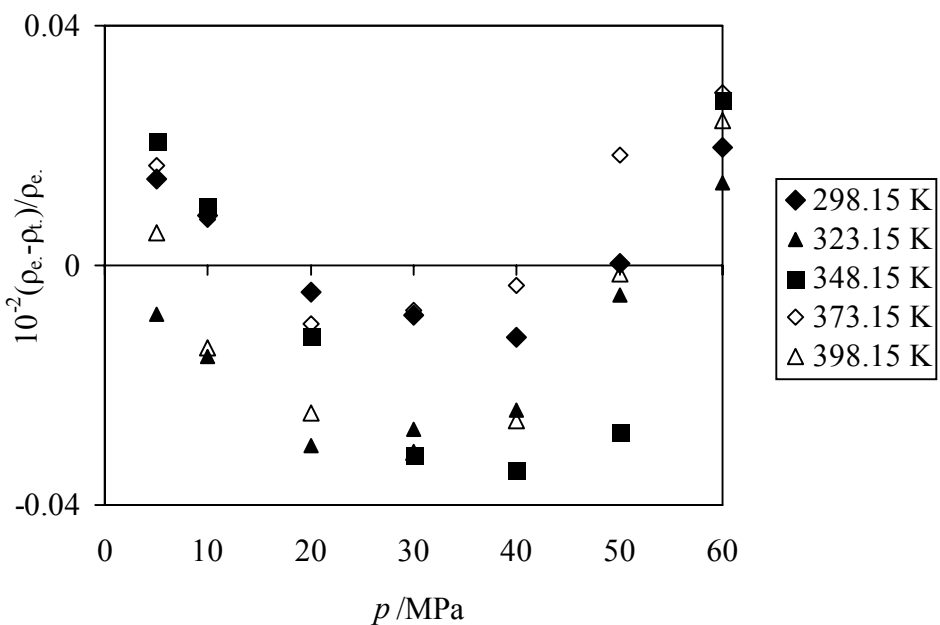
Şəkil 2. $\text{CaCl}_2 + \text{H}_2\text{O}$ qarışığının sıxlığının 30 MPa təzyiqdə molyar konsentrasiyadan asılılığı.

Şəkil 3-də $\text{CaCl}_2 + \text{H}_2\text{O}$ qarışığının $T=298.15 \text{ K}$ temperatur və $p=0.1 \text{ MPa}$ təzyiqdə sıxlığının ədəbiyyat qiymətləri ilə müqayisəsi verilmişdir.



Şəkil 3. $\text{CaCl}_2 + \text{H}_2\text{O}$ qarışığının $T=298.15 \text{ K}$ və $p=0.1 \text{ MPa}$ təzyiqdə sıxlığının ədəbiyyat qiymətləri ilə müqayisəsi (\blacktriangle , Perron¹⁵; \blacklozenge , Tashima¹⁶; \blacksquare , Romankiw¹⁹; \diamond , Isono²⁰; \triangle , Gates²¹; \circ , bu məqalə).

Şəkil 4-də $m=3.00344$ molyar konsentrasiyada hal tənliyinin təcrübi qiymətləri analitik yazma xətası verilmişdir.



Şəkil 4. $m=3.00344$ molyar konsentrasiyada hal tənliyinin təcrübi qiymətləri analitik yazması.

Dr. Cavid Səfərov Almaniyadakı elmi araşdırılmalarına şərait yaratdıqına görə Aleksandr von Humboldt fonduna minnətdarlığını bildirir.

1. Səfərov, C.T. // Namızədlik dissertasiyası, **1993**, Bakı, 200 səh.
2. Wagner, W. and Prüß, A. // J. Phys. Chem. Ref. Data, **2002**, 31, 387.
3. Safarov, J.T., Shahverdiyev, A.N., Huseynova, S.H. // J. Chem. Thermodynamics, **2003**, 35, 137-144.
4. The International critical tables, vol. III. NY McGraw Hill. **1928**.
5. Pesce, G. // Z. physikalische Chemie, **1932**, A, 160, 295-300.
6. Lyons, P.A. and Riley J.F. // J. Am. Chem. Soc., **1954**, 76, 5216-5220.
7. Поляков Е.А.. // Прикладная геофизика, **1965**, 163-180.
8. Dunn, L.A. // Trans.Faraday Soc., **1966**, 62, 2348-2354.
9. Ellis, A.J. // J. Chem. Soc. (A), **1967**, 660-664.
10. Millero, F.J. // Chemical Reviews, **1971**, 71, 2, 147-176.
11. Perron, G., Desnoyers, J. E. and Millero, F. J. // Can. J. Chem., **1974**, 52, 3738-3741.
12. Spitzer, J.J., Singh, P.P., McCurdy K.G. and Hepler L.G. // J. Soln. Chem., **1978**, 7, 2, 81-86.
13. Alexin, O.S., Lvov, S.N., Zarembo, V.I. // Geoximiya, **1980**, 10, 1554-1557.
14. Emara M.M. and Farid N.A. // J. Indian Chem. Soc., **1981**, 58, 474-478.
15. Perron, G., Roux, A. and Desnoyers, J.E. // Can. J. Chem., **1981**, 52, 3049-3054.
16. Tashima, Y. and Arai, Y. // Memoris of the Faculty of Engineering, Kyushu University, **1981**, 41, 3, 217-232.
17. Kumar, A. // J. Soln. Chem., **1982**, 11, 12, 857-870.
18. Kumar, A. // J. Chem. Eng. Data, **1983**, 87, 5504-5507.
19. Romankiw, L. A. and Chou, M. // J. Chem. Eng. Data, **1983**, 28, 300 – 305.
20. Isono, T. // J. Chem. Eng. Data, **1984**, 29, 45-52.
21. Gates, J.A. and Wood, R.H. // J. Chem. Eng. Data, **1985**, 30, 44-49.
22. Kumar, A. // J. Soln. Chem., **1986**, 15, 5, 409-412.
23. Kumar, A. // J. Chem. Eng. Data, **1986**, 31, 1, 21-23.
24. Пепинов Р.И., Лобкова Н.В. и Панахов И.А. // В сб. „Теплофизические свойства веществ и растворов“, IT CO AN SSSR, **1988**, 90.

25. Gates, J.A. and Wood, R.H. // J. Chem. Eng. Data, **1989**, 34, 53-56.
26. Oakes, C.S., Simonin, J.M. and Bodnar, R.J. // J. Soln. Chem., **1995**, 24, 9, 897 – 916.

**ЗАВИСИМОСТЬ ДАВЛЕНИЯ ОТ МОЛЯРНОЙ КОНЦЕНТРАЦИИ
РАСТВОРОВ $\text{CaCl}_2 + \text{H}_2\text{O}$**

САФАРОВ Д. Т., НАДЖАФОВ Г.Н., ШАХВЕРДИЕВ А. Н.

В настоящей работе впервые приведены зависимости давлений от молярной концентрации растворов $\text{CaCl}_2 + \text{H}_2\text{O}$ до 60 МПа. Для вычисления этих параметров использовано модифицированное уравнение состояния. Полученные значения приведены в виде таблицы и построены графики зависимости этих параметров от молярной концентрации.

**PRESSURE DEPENDENCE OF $\text{CaCl}_2 + \text{H}_2\text{O}$ SOLUTION
AT THE VAROIUS MOLYARES**

SAFAROV J. T., NAJAFOV G.N., SHAHVERDIYEV A. N.

In the present work the pressure dependence of $\text{CaCl}_2 + \text{H}_2\text{O}$ solution at the varoius molal concentrations and up to 60 MPa pressures are given. For the calculation of these parameters the modified equation of a state was used. The obtained values were listed in table and were constructed dependence of these parameters from molal concentration.